

오존에 의한 bacteriophage f2의 殺菌作用

金致卿

(忠北大學校 自然大生物學科)

Ozone Inactivation of Bacteriophage f2

Kim, Chi-Kyung

(Department of Biology, College of Natural Sciences Chung-buk National University)

Abstract

Bacteriophage f2 were treated with ozone at various concentrations for 20 minutes. The inactivation kinetics of f2 phage were examined during ozonation. In order to study the mode of action of ozone on the phage f2, absorption of the phage to the host pili was measured by utilizing radioactivity of tritium incorporated into the phage RNA. Sucrose density gradient analysis and electron microscopy were also used to prove the mechanism of ozone inactivation of the phage. Structural proteins of the phage were broken by ozonation into many protein subunits. The extent of phage breakage was proportional to ozone concentration and reaction time. Percent decrease of the phage absorption to the host pili was coincident with the rate of ozone inactivation of the phage. Ozone inactivation of bacteriophage f2 was shown to be caused by the breakage of the structural protein and blockage of the phage absorption to the host pili.

진행되고 있다.

緒論

上水水의 殺菌處理에 사용되는 여러가지 化學殺菌劑 중에서 ozone은 최근에 와서 매우 効率的이며 处理후에도 水質에 아주 작은 汚染영향을 준다는 점에서 世界的으로 注目을 받고 있다. 그러나 水中微生物에 대한 ozone의 強力한 殺菌作用에도 불구하고 그 殺菌機作에 대해서는 별로 많은 研究가 이루어지지 못했다.

특히 virus와 같은 抵抗力이 큰 微生物에 대해서 ozone은 매우 効果적인 殺菌作用을 나타내므로 最近에는 virus에 대한 ozone의 殺菌에 관한 研究가 Katzenelson과 Biedermann(1976), Kim등(1980), Pavoni등(1972), Riesser등(1976)에 의하여 활발히

RNA를 내포하고 있는 bacteriophage f2는 그 構成成分이 物理的으로나 化學的으로 enteric virus와 매우 類似할 뿐더러 chlorine등의 殺菌劑에 대한 反應이 또한 enteric virus와 같으므로(Cramer등, 1976; Olivieri등 1975), 下水處理과정에서 問題되는 enteric virus의 殺菌研究의 model로 Hsu등(1966)에 의하여 導入되었다. Bacteriophage f2는 한 分子의 RNA와 아미노산의 構成이 밝혀진 두 分子의 構造蛋白質로만 되어있고(Weber와 Konigsberg, 1975) 實驗室에서의 取扱이 용이 하므로 여러가지 化學殺菌劑의 殺菌作用 및 그 機作을 研究하는데 좋은 材料가 되고 있다.

Bacteriophage f2에 대한 ozone의 殺菌作用에 관해서는 Pavoni등(1972)이 보고했으며 Riesser등(19

※ 이 論文은 1979年度 文教部 學術研究助成費에 의하여 研究된 것임.

76)은 poliovirus type 2에서 ozone은 protein capsid를破壞한다고 보고했었다. Bacteriophage ϕ X174를 재료로 DeMik과 DeGroot(1977)는 ozone을 포함하는空氣中에서 단백질外套膜의破壞를觀察했었다. 最近에 와서 Kim등(1980)이 bacteriophage f2에 대한 ozone의殺菌效果를 시험하고 그殺菌機作을究明했었다.

本研究에서는 bacteriophage f2에 대한 ozone의殺菌作用을 여러가지 ozone濃度를 使用하여 보다 오래동안反應시키면서 일어나는殺菌效果를試驗하였으며 UV(ultra violet)light의吸光性과電子顯微鏡技術을利用하여 ozone의殺菌作用 및寄主細菌에 대한 f2 phage의吸着性을 서로比較檢討하였다.

實驗材料 및 方法

1. Bacteriophage f2의 分離 및 滴定方法

Bacteriophage f2(ATCC #15766-B)와 그寄主細菌인 *Escherichia coli* K-13(ATCC #15766)은 The Ohio State University, Water Resources Center로부터分讓받았으며 Loeb와 Zinder(1961)의 ammonium sulfate方法을 약간變更하여 2l의 Tryptone Yeast Extract(TYE) broth medium에서寄主細菌을 약 12시간培養한 후 bacteriophage f2를 multiplicity of infection (MOI) 10으로接種시켜 다시 약 12시간培養增殖시켰다. Bacteriophage는 ammonium sulfate로濃縮시킨 후 0.65g/l의 cesium chloride로混合하여 Beckman L2-65B ultracentrifuge에서 125,000×g로 48시간遠心分離하여形成된 phage band를取하였다. 이 phage sample은 pH 7.0의 0.01M phosphate buffer 용액을使用하여 4°C에서 24시간 dialyze시킨 후 triple-distilled water로 약 10^{12} PFU(plaque forming unit)/ml로 되도록 회석하여使用할때까지 -70°C에저장하였다.

Bacteriophage f2의滴定은 *E. coli* K-13을寄主로使用하여 Adams(1959)의 overlay method에의하여 serial dilute한 phage sample을 triplicate로 plate하여生成된 plaque를検査하여 그平均數值를택하였다.

2. Phage f2의 오존처리

Ozone發生은 Union Carbide의 Linde model SG-4050 ozone generator를 이용하였으며 Kim등(1980)이 만든 ozonation system을使用하여 phage sample을 오존處理하였다. 0.01M NaCl이 포함된 10^{-3} M

phosphate buffer 용액(pH7.0)에溶存시킨 ozone溶液의濃度는 Shechter(1973)의 spectrophotometer方法에의하여測定했다. Ozone處理實驗에쓰이는 모든 조작器具는 2mg/l의 ozone溶液에 1時間以上浸漬시킨 후 종류수로 몇차례洗滌하여 120°C에서 2時間乾燥시켜 ozone demand를完全히 없앴다. Phage f2는 오존溶液에 1:10의比率로混合處理하였으며處理후殘留오존은 0.209g/l의 sodium thiosulfate溶液을使用하여中和시켰다.

3. Sucrose density gradient分析 및 紫外線吸光度測定

Sucrose density gradient는 8%의 NaCl을 포함하는 0.01M phosphate buffer(pH7.2)로만든 5%와 20%의 sucrose solution으로만들었다. 11ml의 sucrose density gradient의上層에 1ml의 f2 phage試料를놓고 Beckman L2-65B ultracentrifuge를使用하여 4°C에서 110,000×g로 4시간遠心分離한 후 ISCO model 180 density gradient fractionator를使用하여 40%의 sucrose를遠心分離管의下部에注入함으로서上層으로부터fractionate하는동안 density gradient fractionator에裝置한 ultraviolet spectrophotometer로 254nm의波長을吸收하는 f2 phage의構成蛋白質 및 RNA의量을連續的으로記錄測定하였다.

4. Phage f2의 tritium labeling

Bacteriophage f2는 Oeschger와 Nathans(1966)의方法에준하여 [3 H]-uridine을RNA에附着시켰다. 이때使用한 phage의寄主細菌은 *E. coli* C-3000-38로서 uridine, thymine 및 몇가지아미노산을要求하는mutant로서 uridine의양을10분의1로減少시킨 Tris Pyruvate Glucose (TPG) medium 1l에서滅菌된空氣를供給하면서 37°C에서 24시간培養한 후 3mCi의 [3 H]-uridine을添加하였다. 30분간더培養한 후 bacteriophage f2를 MOI 10으로接種시켜 24시간계속培養하였다. [3 H]-uridine이RNA에附着한 phage는 Yamamoto와 Alberts(1970)의 polyethylene glycol 6,000을使用하는方法에따라分離하였다. 이 bacteriophage f2의 lysate는앞에서言及한 Loeb와 Zinder(1961)의方法에따라cesium chloride에서遠心分離하여얻은phage band를취하여dialyze한 후適當濃度로회석하여使用할때까지 -70°C에저장하였다.

5. Phage f2의寄主細菌에대한吸着

Tritium으로label된 f2 phage를오존處理한후

Table 1. Ozone inactivation kinetics of bacteriophage f₂ at various ozone concentration

Ozone Solution			Surviving bacteriophage(PEU/ml) after ozonation for (seconds)										
ozone(mg/l)	pH	temperature(C)	0	10	20	30	40	50	60	120	300	600	1,200
0.05	7.0	25	2.4×10 ⁸	— ^a	8.4×10 ³	3.4×10 ³	—	3.6×10 ³	4.2×10 ³	2.2×10 ³	1.9×10 ³	1.8×10 ³	9.0×10 ²
0.16	6.9	27	1.5×10 ⁸	—	7.3×10 ³	—	1.3×10 ⁴	—	6.9×10 ²	3.8×10 ²	6.4×10 ²	5.1×10 ²	1.3×10 ²
0.21	7.0	23	4.7×10 ⁸	—	9.5×10 ²	—	1.3×10 ³	—	1.1×10 ²	1.3×10 ²	1.0×10 ²	8.3×10 ¹	2.1×10 ²
0.34	7.0	24	5.9×10 ⁸	4.3×10 ²	1.6×10 ²	—	—	4.4×10 ¹	4.3×10 ¹	1.0×10 ⁰	1.0×10 ⁰	0	0
0.55	6.9	26	2.0×10 ⁸	8.2×10 ¹	9.7×10 ¹	—	1.2×10 ¹	1.5×10 ¹	6.3×10 ¹	4.8×10 ¹	0	0	0
0.65	7.0	25	1.5×10 ⁸	—	4.6×10 ¹	—	4.6×10 ¹	—	4.0×10 ⁰	1.0×10 ¹	2.0×10 ⁰	0	0

a. Not determined

寄主細菌의 pili에 대한 吸着性을 Brinton과 Beer(1967)의 方法에 따라 濾過하여 radioactivity를 測定試驗하였다. Specific adsorption은 寄主細菌인 *E. coli*. K-13을 使用하였으며 Non-specific adsorption은 寄主가 아닌 *E. coli* K-15T⁻와 Millipore filter membrane을 使用하여 測定하였다. 1ml의 phage試料를 TYS medium에 豐殖한 1ml의 細菌과混合하여 常溫에서 10분간 吸着시킨 후 0.45μm Millipore membrane filter에 濾過한 후 filter membrane을 乾燥시켜 10ml의 Liquifluor cocktail(New England Nuclear Corp.)에 混合하였다. 寄主細菌의 pili에 吸着하여 寄主細菌과 함께 filter membrane을 通過하지 못한 f2 phage의 radioactivity를 Packard Tri-carb model 3375 liquid scintillation spectrometer를 使用하여 測定함으로서 吸着度를 比較하였다.

6. 電子顯微鏡에 의한 觀察

Ozone으로 處理한 f2 phage試料와 處理하지 않은 phage control를 Formvar와 炭素로 coat된 300mesh의 구리 grid 위에 한 방울씩 30분간 놓았다가 filter paper로 溶液을 除去한 후 2%의 uranyl acetate로 3분간 negative staining했다. Uranyl acetate를 filter paper로 除去한 후 室溫에서 乾燥시켜 Phillips EM-300 電子顯微鏡을 使用하여 80 또는 100kV로 觀察하였다.

Control 및 오존處理한 f2 phage가 寄主細菌의 pili에 吸着하는率을 電子顯微鏡으로 觀察하였다. 1ml의 phage試料를 1ml의 寄主細菌 *E. coli*. K-13과混合하여 室溫에서 10분간 吸着시킨 후 그混合液을 Formvar와 炭素로 coat된 300mesh의 구리 grid에 놓고 2%의 uranyl acetate를 使用하여 上記方法에 의하여 觀察하였다.

結 果

Bacteriophage f2에 대한 오존의 殺菌作用을 여러 가지 오존濃度에서 시험한結果는 table 1과 같다. 어느 오존濃度에서나 f2 phage는 10초 또는 20초의 反應에 의하여 10⁻⁵~10⁻⁶의 殺菌效果를 나타냈으며 그以後에는 매우 완만한 速度로 殺菌作用이 계속되었다. 오존濃度가 0.21mg/l나 그以下에서는 20분의 處理 후에도 10³PFU/ml 내외의 phage가 生存하였으나 0.34mg/l 또는 그以上的濃度에서는 10분간의 處理에 의하여 f2 phage는 完全히 殺菌되었다.

Bacteriophage f2에 대한 오존의 殺菌作用의 原因

Table 2. Specific and non-specific absorption of bacteriophage f2.

Reaction time(sec)	Ozonation at 0.05mg/l			Ozonation at 0.55mg/l		
	Radioactivity in CPM		% decrease of specific absorption	Radioactivity in CPM		% decrease of specific absorption
	Non-specific absorption	Specific absorption		Non-specific absorption	Specific absorption	
Control	192	2425	0	192	2425	0
10	195	1582	34.76	183	674	72.02
30	243	1409	41.89	158	404	83.34
60	187	1178	51.42	146	294	87.88
120	219	1236	49.03	117	254	89.53
300	233	967	60.12	112	173	92.91

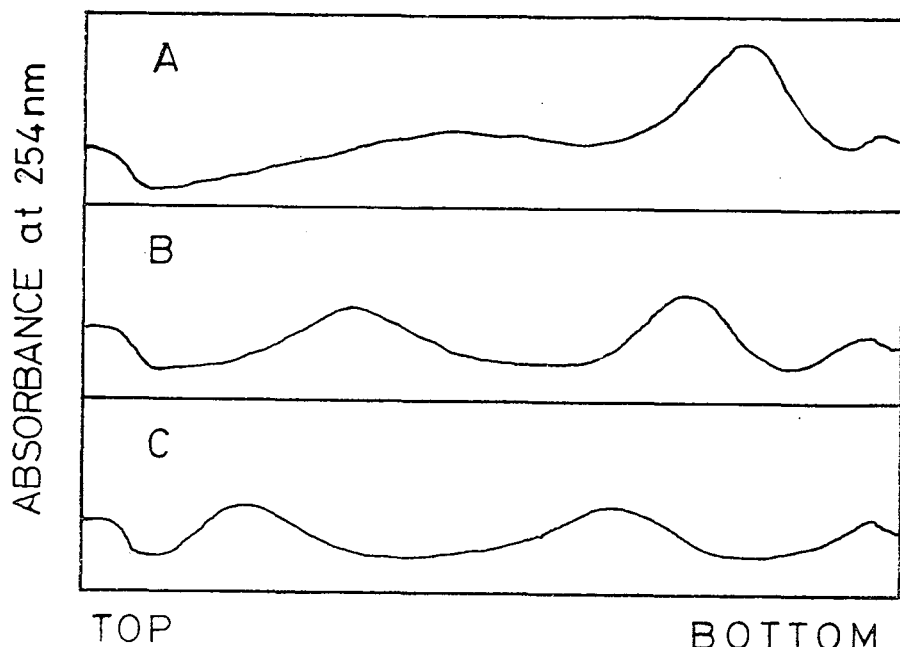


Fig. 1. Sucrose density gradient analysis of control bacteriophage f2 (A) and phages ozonated at 0.05mg/l for 20 seconds (B) and at 0.55mg/l for 60 seconds (C). Three separate 20% sucrose gradients were used to centrifuge at 110,000×g for 4 hours and measured for UV absorbance at 254nm continuously from the top. Control f2 phage showed a peak on the bottom side. Ozonated phages showed two peaks which were moved up.

을 구명하기 위하여 phage f2가 寄主細菌의 pili에 吸着되는 成果와 오존의 濃度 및 處理期間과의 關係를 tritium으로 附着한 phage를 材料로 濾過方法에 의하여 시험하였다. 오존은 0.05mg/l와 0.55mg/l의 두 가지 濃度를 선택하여 10초에서 5분까지 각자 오

존處理하였다. 오존處理를 하지 않은 control f2 phage와 오존處理를 한 phage試料에 대하여 寄主細菌이 아닌 *E. coli* K-15T-와 Millipore filter membrane에 吸着하는 程度를 non-specific adsorption으로 測定하였고 正常寄主인 *E. coli* K-13에 吸着하는

度程外 non-specific absorption과의 差異를 specific absorption으로 測定하였다. Specific absorption과 non-specific absorption을 radioactivity(CPM)으로 表示한 結果는 table 2에 表示되어 있다. Specific absorption은 두가지 오존濃度에서 모두 反應時間이 연장됨에 따라漸進的으로 減少되었으며 그 減少의 百分率은 0.05mg/l에서 5분간 處理후 약 66%에 이르렀으나 0.55mg/l의 오존濃度에서는 90%以上까지 增加하였다. 이 結果는 table 1의 같은 오존濃度에서 나타난 phage의 殺菌效果와 同一한 pattern을 보여 주었다.

오존의濃度와 反應時間에 따라 나타난 bacteriophage의 殺菌效果와 연관하여 phage particle에 있어 날수 있는 構造 및 形態上の 變化를 紫外線 absorbancy와 electron microscopy에 의하여 시험하였다. 紫外線吸光度의 變化를 測定하기 위하여 control phage試料와 0.05mg/l의 오존溶液에서 20초 그리고 0.55mg/l에서 60초 동안 “處理한” phage試料를 5%와 20%의 sucrose density gradient에서 遠心分離한 후 254nm 波長의 紫外線에 의한 각 fraction의 吸光度를 測定한 結果는 Fig. 1에 圖示되어 있다. Control phage의 吸光頂點은 遠心分離管의 下部에서 發見되었으나 오존處理를 함에 따라 오존의濃度 및 處理期間에 比例하여 頂點은 上부로 移動하였다. control phage試料에서는 별로 나타나지 않았던 다른 하나의 吸光頂點이 遠心分離管의 중간部位에서 나타나 上部로 移動하였다.

이와 같이 sucrose density gradient에서 紫外線吸光頂點의 移動은 오존處理에 의하여 phage f2가 破壞되어 構成蛋白質이나 RNA로 分解되어 그들의沈澱速度가 減少되었음을 意味하는 것이다. 오존處理에 의하여 나타나는 phage f2의 構造形態上の 變化를 증명하기 위하여 control 및 오존處理한 phage試料를 negative staining하여 電子顯微鏡으로 觀察하였다. 그 結果는 Fig. 2와 같다. Control phage(Fig. 2A)는 그 본래의 icosahedral形을 保存하고 大部分의 phage particle은 RNA를 內包하고 있었으나 極少數의 particle은 破壞된 形態와 內部 RNA를 流失한 構造를 나타내었다.

오존處理한 f2 phage 중에서는 0.05mg/l의 오존에서 20초 그리고 0.55mg/l에서 60초 동안 처리한 phage試料를 代表的으로 選定하여 그 構造上の 變化를 電子顯微鏡으로 觀察하였다. 0.05mg/l에서 20초 처리한 phage의 形態는 Fig. 2B와 같으며 땅은

수의 phage particle이 여러가지 크기의 protein 조각으로 破壞되어 흩어져 있었으며 아직 破壞되지 않은 phage는 正常的인 icosahedral形을 保存하고 있거나 약간 變形된 形態를 나타내고 있었다. 0.55mg/l의 오존溶液에서 60초 동안 처리한 phage(Fig. 2C)는 大部分이 破壞되어 一定한 크기의 protein subunit으로 遊離되어 있었으며 때로는 中간크기의 protein 조각도 發見되었다. 完全한 icosahedral形態는 거의 發見되지 않았으며 혹시 發見된다 하더라도 內部의 RNA는 流失된 構造를 나타내었다.

Bacteriophage f2의 寄主細菌에 대한 specific absorption의 結果(table 2)를 證明하기 위하여 電子顯微鏡으로 觀察한 結果는 Fig. 3과 같다. Control phage를 寄主細菌인 *E. coli* K-13에 混合시켰을 때에는 大部分의 phage particle이 pili에 吸着하였다 (Fig. 3A). 오존處理한 f2 phage의 specific absorption을 電子顯微鏡으로 觀察하기 위하여 0.05mg/l의 오존溶液에서 30초 동안 處理한 phage와 0.55mg/l에서 120초 처리한 phage를 代表的으로 選定하여 control phage와 같은 方法으로 檢鏡하였다. 0.05mg/l에서 30초 오존處理한 phage(Fig. 3B)는 icosahedral形態를 保存하고 있는 phage만이 寄主細菌의 pili에 吸着했으며 그 數는 control에 比하여 훨씬 적었다. 0.55mg/l에서 120초 오존處理한 phage(Fig. 3C)에서는 寄主細菌의 pili에 吸着된 phage particle이 전혀 發見되지 않았으며 오존處理에 의하여 破壞된 무수한 protein subunit만이 周圍에 散在하고 있었다. 이 結果는 tritium으로 labeling한 phage f2에 대한 吸着度의 結果와 同一하였다.

考 察

Bacteriophage f2의 오존處理에 使用한 오존의濃度는 反應直前 10초 以內에 測定한 것이며 反應期間中 1분 2분 5분 10분 그리고 20분에 測定하였다. 反應 1분 뒤에는 약 30 내지 40%의 減少를 나타냈으며 그 以後에는 완만한 減少를 보여주었다. 反應用器나 초자器具는 ozone demand를 完全히 除去하였기 때문에 反應도중에 減少된 오존量은 phage f2와의 反應에 의한 것이라고 볼수있다.

여러가지 오존濃度에서 보여준 二段階의 殺菌效果는 Katzenelson 등(1974)과 Kim 등(1980)에 의해서도 報告되었으며 모든 phage의 試料를 電子顯微鏡으로 檢查한 結果 濃集된 phage particle은 發見되

지 않았으므로 Young과 Sharp(1977)가報告한二段階의殺菌效果는 virus의凝集에 의한 것이라는提議에는 合當하지 않으며 오존이 먼저 coat protein과反應하여 phage를破壊시킬 때 流出된 RNA가二次的으로 서서히 inactivate 될 수 있다는 Kim 등(1980)의說明이 더可能한 것이다. 오존이 f2 phage와反應할 때 약간의溫度와 pH의差異에서는殺菌效果에 큰影響이 없으며殺菌效果는 오존의濃度와反應時間에比例하여增加하는 것으로 나타났다.

오존處理에 의하여破壊된 phage의 coat protein과流出된 RNA는破壊되지 않은 phage particle보다 sucrose density gradient에서 sedimentation velocity가減少하였으며 particle의破壞程度는 오존의濃度와反應time에比例하여增加하는 것이 Kim 등(1980)의結果에서와 같이電子顯微鏡觀察에 의하여立證되었다.

破壊된 coat protein과流出된 RNA는 254nm波長의紫外線吸光度를 함께測定하였으며 RNA에 대한 오존의作用은 따로檢討하지 않았다. 그러나 오존에 의한 f2 phage의殺菌效果와 sucrose density gradient의分析과電子顯微鏡에 의한觀察結果는一次的으로 phage f2의 coat protein이 오존에 의하여破壊된다는點에서는一致하였다.

오존에 의하여 phage의構造蛋白質이破壊되는것이寄主細菌의pili에吸着하는데作用하는 phage의 A-protein에도影響을준다는것이 specific absorption實驗結果에 있어서나電子顯微鏡觀察에 있어서나同一하였다. 이는構造蛋白質과 함께 A-protein도破壊되어寄主細菌의pili에吸着하지 못하므로 phage의 replication經路가 차단되는 것으로理解할수 있다.

Virus가 오존에 의하여破壊된다는것은 Riesser 등(1976)에 의하여 poliovirus type 2에서, Kim 등(1980)에 의하여 bacteriophage f2에서, 그리고 DeMik과 DeGroot(1977)에 의하여 bacteriophage ϕ X 174에서報告되었으며蛋白質 구성의 아미노산에 대한 오존研究는 Mudd 등(1969)은 tryptophan, methionine 그리고 cysteine이 다른 아미노산보다 오존에 대한感受性이크다고報告했을뿐이다.

本研究에서얻은結果로서는 오존은一次的으로 f2 phage의構造蛋白質을破壊하는同時에寄主細菌의pili에吸着하는過程을차단하는것이다. 그리고構造蛋白質은 오존의濃度와反應time에比例하여破壊되는데反應初에는커다란조각으로붕괴되

었다가 궁극적으로는一定한크기의蛋白質의構成單位體로分離되었다.

論 結

Bacteriophage f2를 여러가의濃度의오존溶液으로 20분동안處理하며 그殺菌效果를試驗하였으며 그殺菌作用의原因을究明하기위하여 sucrose density gradient와寄主細菌의pili에대한吸着度를試驗分析하였다. 電子顯微鏡으로 f2 phage의破壞程度와寄主細菌에대한吸着性을觀察하여殺菌效果와比較하는동시에殺菌作用의原因을立證하였다.

오존은一次的으로 phage f2의構造蛋白質을破壊하여寄主細菌의pili에吸着하는過程을차단했으며構造蛋白質의破壞程度는오존의濃度와反應time에比例하여 궁극적으로는構成單位體로유리되었다.

References

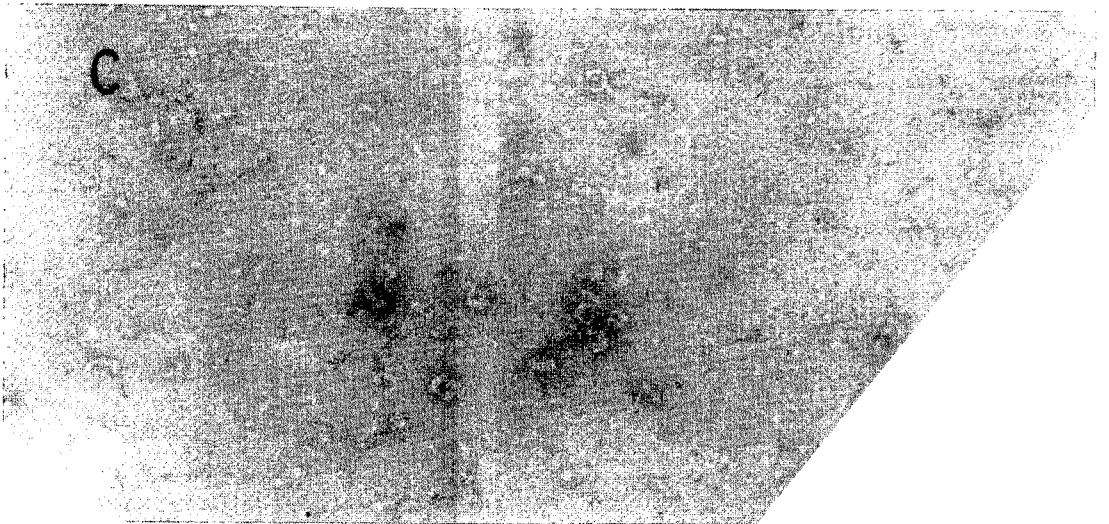
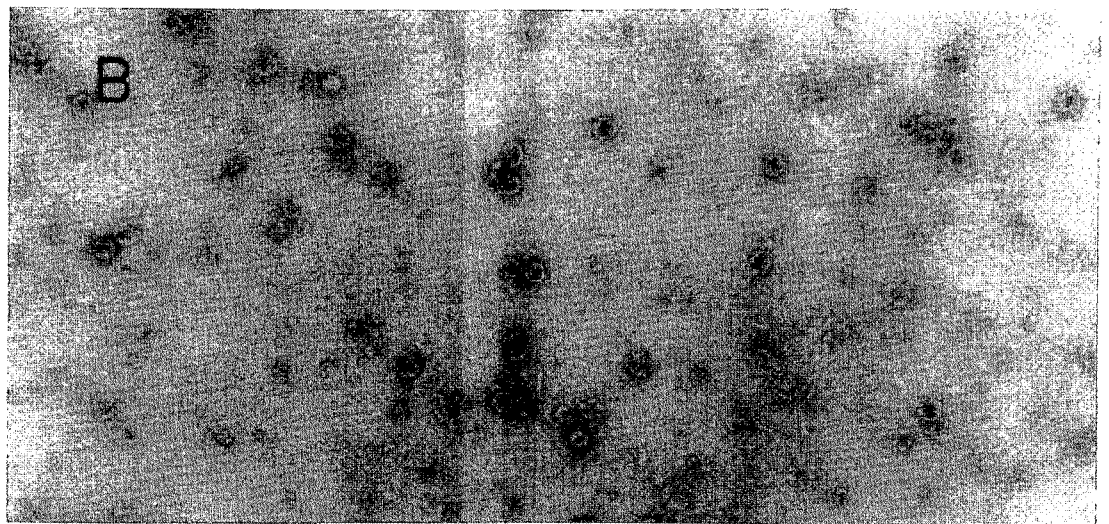
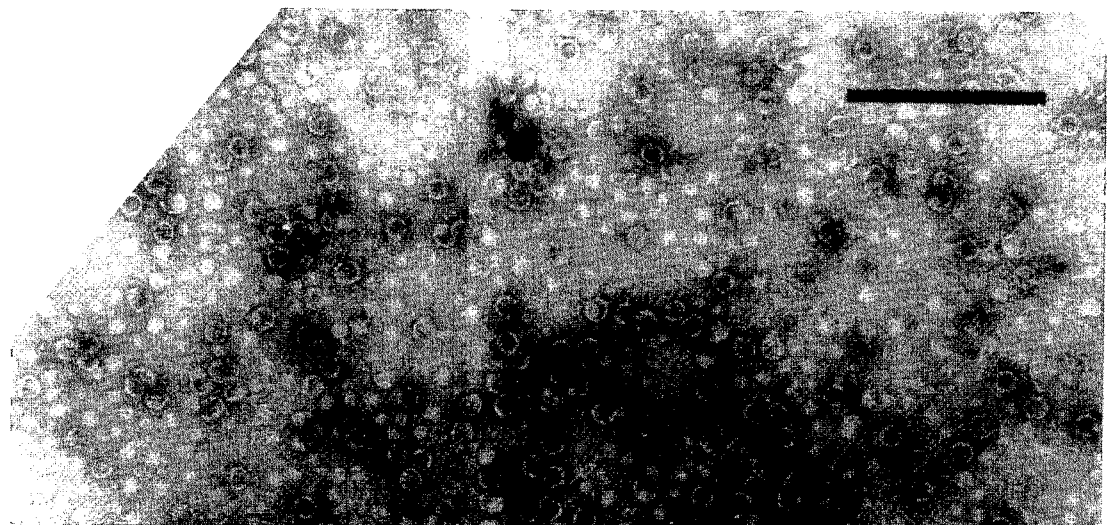
- Adams, M.H. 1959. Bacteriophages. Interscience Publishers, Inc., N.Y.
- Brinton, C. C., Jr., and H. Beer. 1967. The interaction of malespecific bacteriophage with Fpili, p. 251~289. In J. S. Colter and W. Paranchych (ed.), The molecular biology of viruses. Academic Press Inc., N.Y.
- Cramer, W.N., K. Kawata, and C. W. Kruse. 1976. Chlorination and iodination of poliovirus and f2. J. Am. Water Works Assoc. 68 : 61~76.
- DeMik, G., and I. DeGroot. 1977. Mechanism of inactivation of bacteriophage ϕ X174 and its DNA in aerosols by ozone and ozonized cyclohexene. J. Hyg. 78 : 199~211.
- Hsu, Y. C., S. Nomura, and C. W. Kruse. 1966. Some bacterial and virucidal properties of iodine not affecting infectious RNA and DNA. Am. J. Epidemiol. 82 : 317~328.
- Katzenelson, E., and N. Biedemann. 1976. Disinfection of viruses in sewage by ozone. Water Res. 10 : 629~631.
- Katzenelson, E., B. Kletter, and H. I. Shuval. 1974. Inactivation kinetics of viruses and bacteria in water by use of ozone. J. Am. Water

- Works Assoc. 66 : 725~729.
- Kim, C.K., D.M. Gentile, and O.J. Sproul. 1980. Mechanism of ozone inactivation of bacteriophage f2. Appl. Environ. Microbiol. 39 : 210~218.
- Keller, J. W., R. A. Morin, and T. J. Schaffernoth.. 1974. Ozone disinfection pilot plant studies at Laconia, N.H. J. Am. Water Works Assoc. 66 : 730~733.
- Loeb, T., and N. D. Zinder. 1961. A bacteriophage containing RNA. Proc. Natl. Acad. Sci. USA. 47 : 282~289.
- Mudd, J. B. R., Reavitt, A. Ongun, and T.T. McManus. 1969. Reaction of Ozone with amino acids and proteins. Atmos. Environ. 3 : 669~681.
- Oeschger, M.P., and D. Nathans. 1966. Differential in synthesis of bacteriophage-specific proteins in MS2-infected *Escherichia coli* treated with actinomycin. J. Mol. Biol. 22 : 235~247.
- Olivieri, V.P., C.W. Kruse, Y.C. Hsu, A.C. Griffiths, and K. Kawata. 1975. The comparative mode pf action of chlorine, bromine, and iodine on f2 bacterial virus, p. 145~162. In J. D. Riesser, V.W., J.R. Perrich, B.B. Silver, and J. R. McCammon. 1976. Possible mechanism of poliovirus inactivation by ozone, p.186~192. In E. G. Fochtman, R.G. Rice, and M.E. Brownning (ed.), Forum on ozone disinfection. International Ozone Institute, Syracuse, N.Y.
- Shechter, H. 1973. Spectrophotometric method for determination of ozone in aqueous solutions. Water Res. 7 : 729~739.
- Weber, K., and W. Konigsberg. 1975. Proteins of the RNA phages, p.51~84. In N. D. Zinder (ed.), RNA phages. Cold Spring Harbor Laboratory, Cold Spring Harbor, N.Y.
- Young, D.C., and D.G. Sharp. 1977. Poliovirus aggregates and their survival in water. Appl. Environ. Microbiol. 33 : 168~177.
- Johnson(ed.), Disinfection-wafer and wastewater. Ann Arbor Science Publishers, Ann Arbor, Mich.
- Pavoni, J.L., M.E. Tittlebaum, H.T. Spencer, M. Fleischman, C. Nebel, and R. Gottschling. 1972. Virus removal from wastewater using ozone. Water Sewage Works. 119 : 59~67.

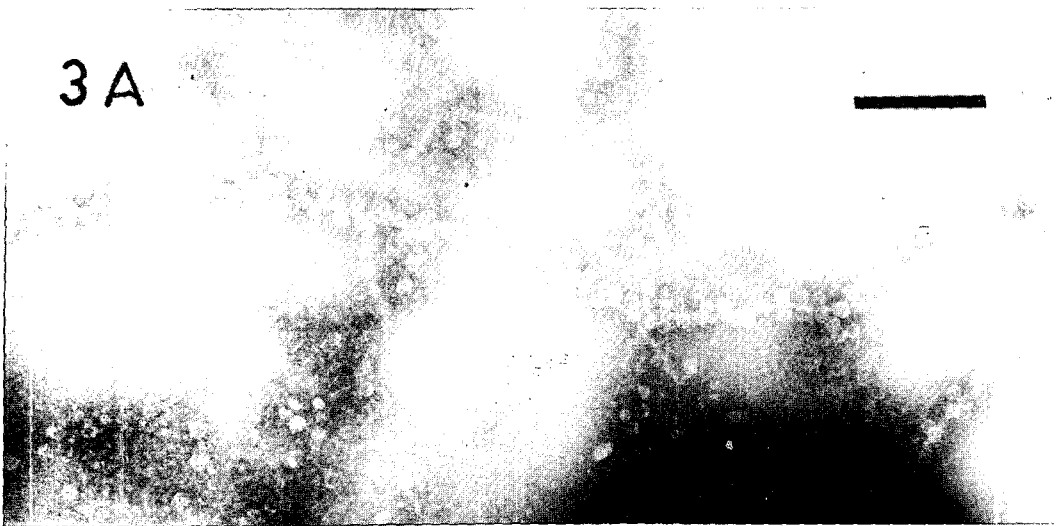
FIGURE LEGENDS

Fig. 2. Electron Micrographs of bacteriophage f2 negatively stained with 2% uranyl acetate. Control phage f2 (A) were icosahedral shaped and filled with RNA. A few of them were broken into large pieces. The phage f2 treated with 0.05mg/l ozone for 20 seconds (B) showed breakage of the particle. Some of them were still intact in shape and filled with RNA. The phage ozonated at 0.55mg/l for 60 seconds (C) were broken down into many protein subunits. The bar represents 0.2μm.

Fig. 3. Electron micrographs of the negative stained control phage f2 (A) and phages ozonated at 0.05mg/l for 30 seconds(B) and at 0.55mg/l for 120 seconds(C), showing specific absorption to the pili of the host *E. coli* K-13. Almost all of the control phage f2 were absorbed to the host pili. In the ozonated phages, only the intact phage particles reduced in number were absorbed to the host pili. The bar represents 0.2μm.



3A



B



C

